

熊本大学大学院

学生員○田中博徳

熊本大学工学部

正員秋吉卓

八代工業高等専門学校

正員渕田邦彦

1. まえがき 地層浅部の地層構造を調べるには、ボーリング調査、サウンディング調査、P・S検層などが有効であるが、非破壊で調べるには、実体波(S波)の屈折・反射現象を利用する弾性波探査法が用いられている。また最近では、地表面に起振機で正弦波を与えて表面波(レーレー波)を発生させ、レーレー波の波速の分散性およびS波の波速に近い性質を利用して、地層構造(S波分布)を決定する弾性波探査法(：佐藤式)が提案され、実用化されている。本研究では、波動発生に1回の衝撃荷重を用い、2点で観測した波形をマルチフィルター処理することにより、佐藤式と同様な取扱いができるかどうかを試みたもので、その途中経過を報告するものである。

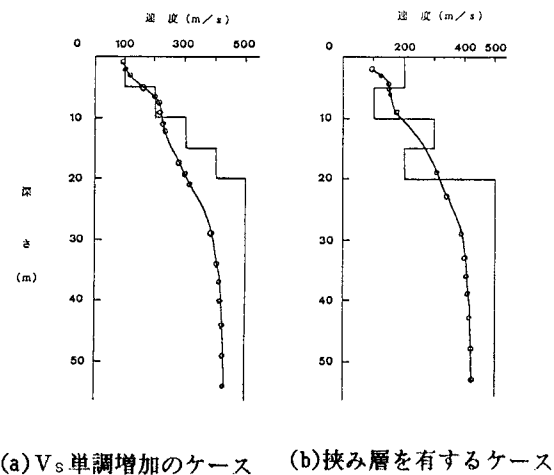
2. 解析手法の概要 Richartら<sup>1)</sup>によると、半無限弾性体の表面上のフーチング基礎から地盤内に入射したエネルギー波は、P波・S波・レーレー波の組み合わせとなって伝播するが、振動源から十分離れた点の波動のエネルギーは、レーレー波が67%、S波が26%、P波が7%を分担し、全エネルギーの2/3がレーレー波によって伝達され、それだけレーレー波は実体波に比べて距離減衰が小さい。したがって、鉛直振動源からある程度離れた点で鉛直振動を測定したものは、ほとんどレーレー波を測定したことになり、これより層状地盤のレーレー波速度 $V_R$ 、すなわち近似的にはS波速度 $V_s$ が求められる。さらに野外実験の結果より、レーレー波の鉛直変位のエネルギー分布は1波長入の深さ以内に集中し、 $V_s$ は平均的には深さ $D = \lambda/2$ の特性としうるとした。この、発振・計測・解析のシステムを実用化したものが、佐藤式<sup>2)</sup>と呼ばれている。

そこで、Haskell<sup>3)</sup>の方法によって、5層地盤について、(a)  $V_s$ が深さとともに単調に増加するケースと、(b) 軟弱な挟み層を有するケースについて、レーレー波の1次モードの位相速度 $V_R$ を求め、 $V_R = V_s$ としてこれを深さ $D = \lambda/4$ の位置にプロットしたものが、図1中の曲線である。この $V_s$  ( $V_R$ ) -  $D$  ( $\lambda/4$ ) 関係の曲線は分散曲線と同じ意味であり、これを最初に与えた $V_s$ の分布(図中の階段状分布)と対比してみると、どちらのケースも平均的な分布を示していることが分かるが、(b) のような軟弱な挟み層の変化にまでは追従できないようである。

3. 実験結果および考察 本研究では、フーチングの衝撃荷重による波動をマルチフィルター<sup>4)</sup>で処理するので、起振機の振動数を変更する手間が省け、一度の実験で済む利点がある。

図2は、衝撃荷重実験の概要を示すもので、左端のコンクリート・テストピースを落下させて衝撃波動を発生させ、ピックアップP1, P2での波形をデータレコーダに格納し、マイコンで処理した。

図3の上2つの波形は、それぞれピックアップP1, P2での同時記録である。これらの同時記録のT = 2.56秒間に0.001秒間隔のA/D変換を行い、 $1/T = 0.4\text{Hz}$ ごとのマルチフィルターを通して、単一振動数での非定常波形を作るが、その一例が同図3、4段目の波形である。さらに両波形の到達時間差 $\Delta t$ を5段目の相関関数の第1ピーク時刻より求めることにした。以上より、S波速度 $V_s$ とその深さ $D$ との関係を次式のように設定した。

(a)  $V_s$  単調増加のケース (b) 挟み層を有するケース図1 仮定  $V_s$  と推定  $V_s$  との対比

$$V_s = V_R = L / \Delta t, \quad D = \lambda / 2 = V_R / 2f \quad (f : \text{振動数})$$

ただし、 $V_R$ 、 $\lambda$ ：レーレー波の伝播速度と波長、 $L$ 、 $\Delta t$ ：ピックアップ間の距離と波形到達時間差。

実験は、熊本大学理・工学部構内で行ったが、ここでは図4、5の2例を掲げている。両図左端の見取り図中のB1～B4はボーリング資料が存在する点であり、計測地点に近いボーリング資料を推定S波速度分布の左右に並べて示している。これらの図より、推定S波速度の分布は、近傍のN値分布と比較的対応しているが、特に軟弱な挟み層がある場合もその特徴をよく示している。これらは、理論上で明確さを欠くが、実用性という点から評価すべきものであろう。その他の結果については講演時に述べる予定である。

参考文献 1)F.E.Richart他:Vibration of soils and foundation, Prentice-Hall. 2)佐藤長範:起振機による地盤探査システム(Model-810)、ビック株式会社. 3)佐藤泰生:弾性波動論、岩波書店. 4)亀田弘行:土木学会論文報告集、第235号、1975.

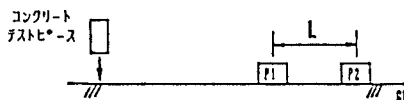


図2 地表面衝撃実験の概要図

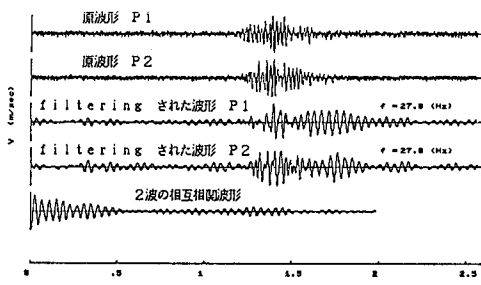
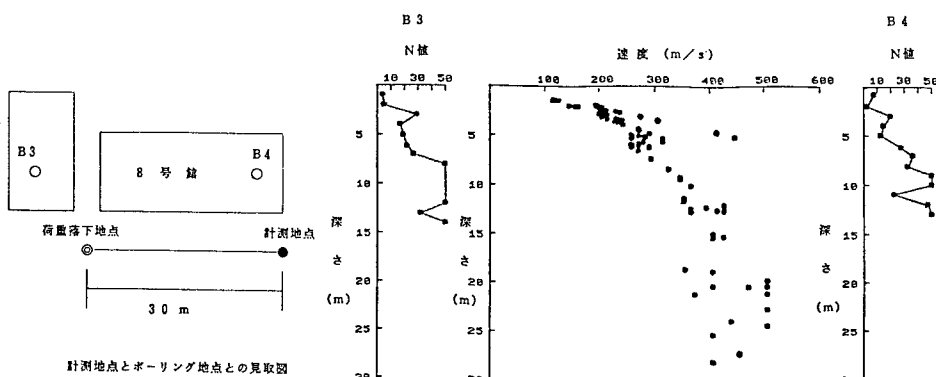
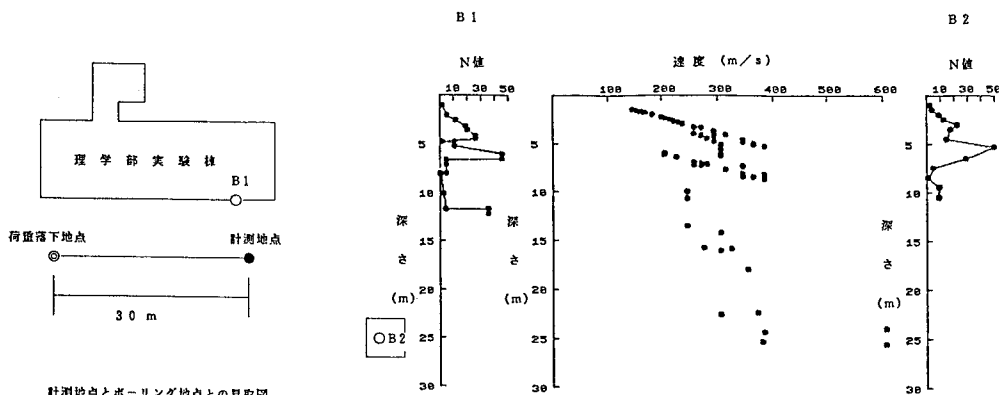


図3 2地点(P1, P2)の波形、フィルタリング、相関関数

図4 推定S波速度分布( $V_s$ )とN値分布との比較図5 推定S波速度分布( $V_s$ )とN値分布との比較